

74 大武川土砂氾濫シミュレーション

○富士川砂防工事事務所 調査課 久保田 哲也
八千代エンジニアリング(株) 井戸 清雄

1. はじめに

砂防事業の効果を判定するに際して、砂防施設の有無による氾濫面積の差をいかに評価するかが問題となるのであるが、現在のところ過去の災害による経験的な手法がとられており、これといかに定量的に把握するのかが課題である。そこで、富士川砂防管内である大武川をモデルとして、昭和34年(1959年)の災害における土砂氾濫を再現し得るシミュレーション手法を検討し、それによって、砂防事業の効果把握を試みた。

2. 大武川流域の概要

大武川は、富士川本川上流部釜無川左支川で流域面積 73.3 km^2 、平均勾配 $1/7$ の南アルプス山岳部に源流を持つ急流河川である。大武川流域は、糸魚川・静岡構造線で分断され上流部は中生糸~第三系の千枚岩、粘板岩、砂岩などの堆積岩とそれに貫入した花崗岩および接触熱変成作用で生じたホルンフェルス等より成るが、下流部は Fossa Magna 西縁に当たり、第三系の砂岩・凝灰岩等と、その上層に堆積した第四系の段丘堆積物より成る。いずれも、構造線活動と貫入熱変成により著しく破碎変質した極めて脆い地質を有しており、荒廃している。従って、過去にも度々、莫大な土砂を下流に流出し、土砂災害を発生させている。本流域は、最近では、昭和34年と昭和57年に大災害を被ったが、57年には、砂防施設の整備により被害は少なかった。一方、34年には土砂氾濫により人命・資産に多大の被害を生じた。そこで、この災害時のシミュレーションを実施し、砂防施設の有無による相違を検討する。

3. 昭和34年災害の概要

昭和34年の災害は、主として8月の台風7号により発生したもので、水源部の黒戸山の大崩壊等により大量の土砂が洪水とともに下流へ押し寄せ、武川村に大被害を及ぼすとともに本川へも流出し、韭崎市にも浸水の被害を与えた。被害は、武川村と韭崎市だけで、死者行方不明者43人、全壊・流失家屋27戸にも及んでいた。当時の氾濫区域は、図-3に示してあるが、扇状地上部の谷の出口では流路の首振りにより流れは二分、三分されている。この時の総雨量は大武川流域で約 40 mm に達し、本川への流出量は、約 $3,212 \text{ m}^3$ とされている。

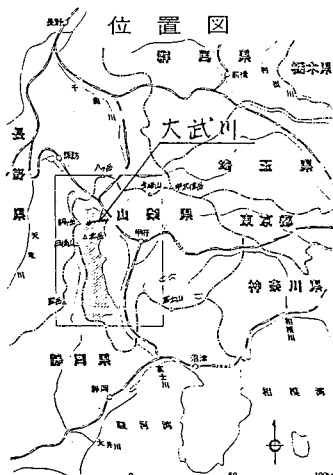


図-1 流域の位置図

4. シミュレーション手法

シミュレーションは、貯留関数法による流出解析と、氾濫域上流部の一次元河床変動解析ならびに

下流氾濫域である扇状地における二次元河床変動計算に基づいている。二次元河床変動計算については、計算機CPU時間がかかり過ぎる為、扇状地から上流の河道は曲線と見なせることより上流河道区間について、一次元河床変動計算を行った。

4. 1 流出解析

流出解析手法は、大武川が小流域であることより、貯留関数法の解と等価粗度法の解を等価となるように諸定数を定量化する星・村上の手法などが適すると考えられるが、今だ研究段階であり、ここでは、良く用いられる貯留関数法を用いた。大武川流域に対し流域分割とティーセン分割を実施し、昭和34年の降雨ハイエトグラフと昭和57年に検証された用いられた諸定数($K=30, P=0.5$)を用いて、図-2のハイドログラフを得た。この時の一次流出率と飽和雨量はそれぞれ、0.6と100mmを使った。

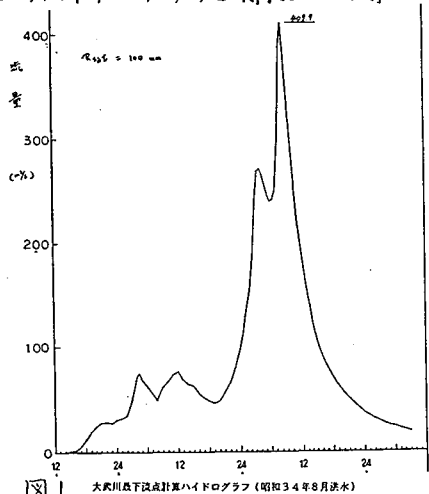


図1 大武川底下流域ハイドログラフ(昭和34年8月洪水)

C^* : 堆積土砂濃度, θ_B : 流入流量, C_a : 土砂濃度, θ_w : 表面流(清水)の増加流量 ($m^3/s/m$)
運動方程式は、芦田、高橋、水山の式(ATM式)を掃流砂の場合に、高橋の式を土石流の場合に、それぞれ用いた。水の運動方程式は、各差分間にについて、マニング則を用いた。

$$\text{ATM式 } \theta_B / \sqrt{(\rho/\rho - 1) \cdot g d^3} = 12 \tau_*^{1.5} \cdot (1 - \alpha^2 \tau_*^{1.5} / C^*) \cdot (1 - \alpha \sqrt{\tau_*^{1.5} / C^*}) \quad (3)$$

$$\text{高橋式 } C = \rho \tan \theta / \{ (\sigma - \rho) (\tan \phi - \tan \theta) \} \quad (4)$$

θ_B : 流砂量, ρ : 砂礫の密度, ρ : 水の密度, d : 代表粒径, τ_* : 無次限掃流力, α : 係数
 C : 土石流濃度, ϕ : 内部摩擦角, θ : 河床勾配。河床変動計算は、上記の連続式を差分化し、得られた各式に対し、河幅をレジーム則 $B = 5\sqrt{Q}$ を用い矩形断面を仮定した上掃流力を計算するが、その際、掃流砂域か土石流域かを土石流下限勾配により判断した。河床変動量を記(1)(2)式のAの差分として評価した。従って、河床変動高は差分区間に A_i/B_i として求める。

4. 2 一次元河床変動解析

上記、一次元河床変動解析結果と上流端の境界条件とし下流氾濫域に面的な評価を与える為、二次元河床変動解析を行う。その基礎式は次の通りである。運動方程式は、

$$\frac{\partial u}{\partial t} + \beta (\vec{u} \cdot \nabla) \vec{u} = (\vec{F}/\tau) - (1/\tau) \operatorname{grad} p \quad (5)$$

$$\text{ここで, } \vec{F} = (\sigma - \rho) n \cdot C_{dn} \cos \theta \tan \alpha + \vec{g}_b \quad (6)$$

連続式は、

$$\frac{\partial \vec{U}}{\partial t} + \operatorname{div} \vec{U} = 0 \quad (7)$$

\vec{U} : 流速ベクトル, T : 土石流の密度, t : 時間。

h : 土石流流動深, P : 圧力, F : 摩擦抵抗力, σ : 砂礫密度, ρ : 土石流中の水のみかけの密度, B : 運動量補正係数, C_{dn} : 摩擦抵抗に寄与する粗粒分の容積密度, θ : 各座標(x, y)方向の堆積域勾配, $\tan\alpha$: 砂礫の衝突摩擦係数,

τ_b : 流体の抵抗力

これらに、連続流体条件等を持ち込んで、両辺に水深を乗じ、かつ外力 F を摩擦抵抗力とする。
ただし、 τ_b の x 方向成分 τ_{bx} と y 方向成分 τ_{by} は、

$$\tau_{bx} = \rho_0 \cdot g \cdot n^2 \cdot u \cdot \sqrt{u^2 + v^2} / h^{1/3} \quad (8)$$

$$\tau_{by} = \rho_0 \cdot g \cdot n^2 \cdot v \cdot \sqrt{u^2 + v^2} / h^{1/3} \quad (9)$$

ここに、 ρ_0 : 土石流の密度

σ : 砂礫の密度

ρ : 水の密度

ρ_n : 微細砂が浮遊することによって増加した水の密度

C_{dn} : 土砂流中の粗粒分の容積濃度であり、固体分の全容積密度

C_d とは、次の関係がある。^{*)}

$$C_{dn} = \frac{C_d \cdot (\sigma - \rho) + \rho - \rho_n}{(\sigma - \rho_n)} \quad (10)$$

θ_x : x 方向の地盤勾配

θ_y : y 方向の地盤勾配

$\tan\alpha$: 摩擦係数

n : マニングの粗度係数

g : 重力加速度

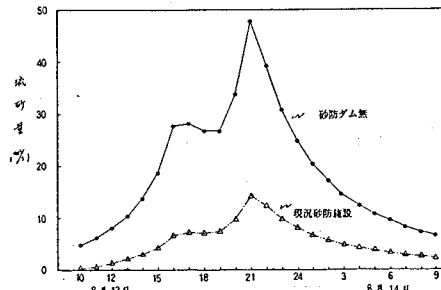


図2 一次元解析 大武川ダム地点の浚出土砂量波形の比較

これらの式を離散化し差分計算を行なうが、 τ_b の項が非線型である為、高橋ら³⁾による差分スキームと、慣性項に後退・前進差分を使い分ける風上差分を用いた。河床変動量は次式の連続式により計算する。計算ケースは表1の通りで

$$\frac{\partial z}{\partial t} + \frac{1}{1-\lambda} \left(\frac{\partial q_{Bx}}{\partial x} + \frac{\partial q_{By}}{\partial y} \right) = 0 \quad (11)$$

ここに z : 河床高

λ : 空隙率

q_{Bx} : x 方向の流砂量

q_{By} : y 方向の流砂量

あるが、このうち CASE 1 と CASE 5~7 は参考の為に

実行したものである。さらに、現象を説明する為に、掃流砂量式中に倍率をもち込んで計算を実行した。

5. シュミレーション結果

シュミレーションは、地形図から読み取った地盤データならびに無施設時の S 34 年災の流出土砂量を最も適確に表現し得る値である、平均粒径 1.0cm、内部摩擦角 20°、水の密度 $\rho_w = 1.0$ (土砂混入考慮)、土石流・掃流臨界勾配 $\theta_c = 28.8^\circ$ 等の諸条件を用いて砂防施設の有無について行ったが、一次元解析(上流部)については図2のような結果となり、砂防施設の有無によって、流砂量 Peak が約 1/5 になるのが分かった。また、この一次元解析を境界条件として表1の条件の各ケースを行ったが、無施設時の災害(S 34 年)を最も忠実に再現できるのは CASE-2 であった。

CASE-2 の最大水深分布と最大地盤変動高を図3-1 と 3-2 に示したが、図中実線で示されている昭和 34 年の災害実績と平面的には良く一致するのが分かる。ただし、左岸上流部で一部合致しない所

表1 二次元河床変動解析ケース

項目	上流砂防施設の状況	地形データの作成	粗度係数	掃流砂量に対する台車	全流入土砂量 (千m³)	豊川への流出土砂量
CASE-1	無施設	地形図から読みとるまに、データを作成。	0.06	1.0	2,211	0
CASE-2	同上	#	10.0	"	1,492	
CASE-3	現況施設	#	10.0	1,319	783	
CASE-4	無施設	大武川・石笠川合流点下流の試験工事を用いてデータを作成。	0.06	10.0	2,211	1,670
CASE-5	同上	0.2	1.0	2,211	660	
CASE-6	現況施設	0.2	1.0	1,319	595	
CASE-7	無施設	0.3	1.0	2,211	945	

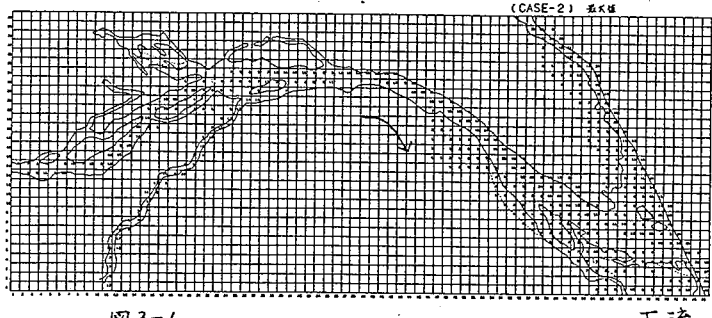


図3-1 メッシュ内の水深分布 単位 0.1(m)

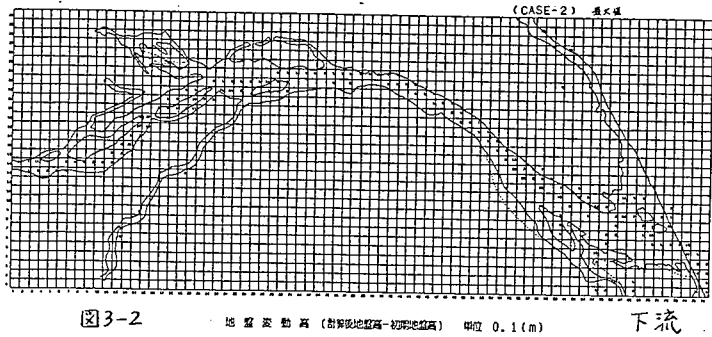


図3-2 地盤変動高(計算地盤高-初期地盤高) 単位 0.1(m)

同条件でシミュレーションを実行すると、図4-1、4-2の様になる。最大水深量と平面的なパターンは、前記CASE-2と大きな差はないが、地盤変動高については、図4-2のようにかなりの減少が見られた。

6. 結語

この調査においては、細粒分の検討が十分でなく、掃流量の倍率と言った不確定な要素を持ち込んだが、今後は浮遊砂等細粒分と粗粒分各々に計算を行う方法等も検討したい。最後にこの業務の実行に当り、貴重な御助言をいただいた建設省土木研究所の水山砂防研究室長に感謝いたします。

参考文献

- 1)星、村上：実用的小流域の流出解析手法；第40回建設省技術研究会報告；建設省 1987 pp902-908
- 2)高橋、辻本：土石流氾濫・堆積の数値シミュレーション；京大防災研年報 第24号 B-2, 1984.
- 3)高橋、中川、西崎：堤防決壊による洪水危険度の評価に関する研究；京大防災研年報第29号B-2, 1986.

があるが、これは、旧河道部であり、シミュレーションに用いた現地形では、その出入口が地形改変で高くなっている為に水が流出入しないことによる。また、図中中流右岸に実績と異なるように見える箇所があるが、これは図中実線が土砂の氾濫域を示すもので、災害誌によれば、このあたりは浸水した実態と一致している。一方、地盤変動高も実態と平面的にはほぼ一致している。変動高等については、実態が不明であるが、オーダ的には当時の河床変動を再現している。次に、砂防施設が整備されていた場合(流路工を除く)に

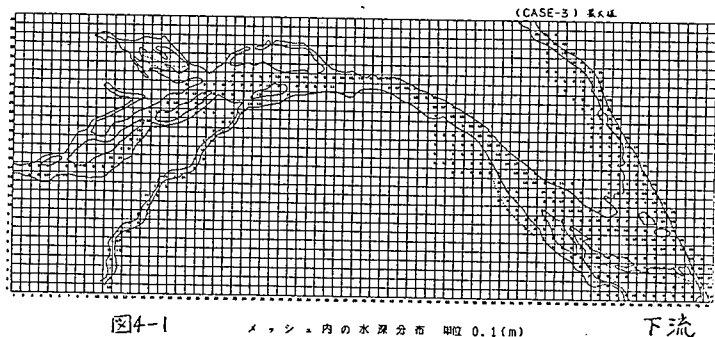


図4-1 メッシュ内の水深分布 単位 0.1(m)

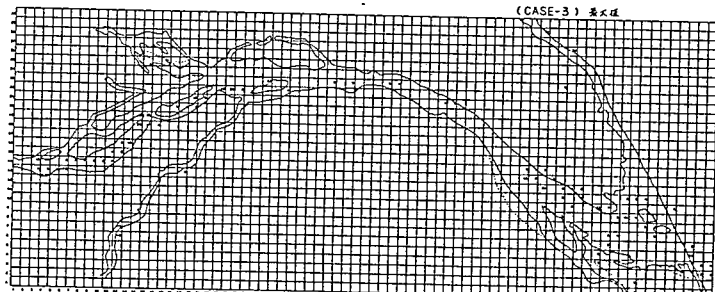


図4-2 地盤変動高(計算地盤高-初期地盤高) 単位 0.1(m)